

Starkniederschlagshöhen und -spenden gemäß KOSTRA-DWD-2010R

Auswertungszeitraum von 1951 - 2010, Januar - Dezember

Rasterfeld: 23030

Zeile: 23

Spalte: 30

Seite: 1/2

| Dauerstufe D | Wiederkehrzeit T | | | | | | | | | | | | | | | | | | |
|--------------|------------------|------|------------|------|------------|------|------------|------|------------|------|------------|------|------------|------|------------|------|------------|------|------------|
| | 1 a | | 2 a | | 3 a | | 5 a | | 10 a | | 20 a | | 30 a | | 50 a | | 100 a | | |
| min | Std | mm | l / (s ha) | mm | l / (s ha) | mm | l / (s ha) | mm | l / (s ha) | mm | l / (s ha) | mm | l / (s ha) | mm | l / (s ha) | mm | l / (s ha) | mm | l / (s ha) |
| 5 | | 4,9 | 163,3 | 6,7 | 223,3 | 7,7 | 256,7 | 8,9 | 296,7 | 10,7 | 356,7 | 12,4 | 413,3 | 13,4 | 446,7 | 14,7 | 490,0 | 16,4 | 546,7 |
| 10 | | 7,7 | 128,3 | 10,0 | 166,7 | 11,3 | 188,3 | 13,0 | 216,7 | 15,2 | 253,3 | 17,5 | 291,7 | 18,8 | 313,3 | 20,4 | 340,0 | 22,7 | 378,3 |
| 15 | | 9,5 | 105,6 | 12,1 | 134,4 | 13,7 | 152,2 | 15,6 | 173,3 | 18,2 | 202,2 | 20,9 | 232,2 | 22,4 | 248,9 | 24,4 | 271,1 | 27,0 | 300,0 |
| 20 | | 10,7 | 89,2 | 13,7 | 114,2 | 15,4 | 128,3 | 17,6 | 146,7 | 20,5 | 170,8 | 23,5 | 195,8 | 25,2 | 210,0 | 27,3 | 227,5 | 30,3 | 252,5 |
| 30 | | 12,3 | 68,3 | 15,8 | 87,8 | 17,8 | 98,9 | 20,3 | 112,8 | 23,8 | 132,2 | 27,2 | 151,1 | 29,2 | 162,2 | 31,8 | 176,7 | 35,2 | 195,6 |
| 45 | | 13,7 | 50,7 | 17,7 | 65,6 | 20,1 | 74,4 | 23,0 | 85,2 | 27,1 | 100,4 | 31,1 | 115,2 | 33,5 | 124,1 | 36,4 | 134,8 | 40,5 | 150,0 |
| 60 | | 14,5 | 40,3 | 19,0 | 52,8 | 21,6 | 60,0 | 24,9 | 69,2 | 29,4 | 81,7 | 34,0 | 94,4 | 36,6 | 101,7 | 39,9 | 110,8 | 44,4 | 123,3 |
| 90 | | 16,0 | 29,6 | 20,8 | 38,5 | 23,6 | 43,7 | 27,1 | 50,2 | 31,8 | 58,9 | 36,6 | 67,8 | 39,3 | 72,8 | 42,8 | 79,3 | 47,6 | 88,1 |
| 120 | 2 | 17,2 | 23,9 | 22,2 | 30,8 | 25,1 | 34,9 | 28,7 | 39,9 | 33,6 | 46,7 | 38,5 | 53,5 | 41,4 | 57,5 | 45,1 | 62,6 | 50,0 | 69,4 |
| 180 | 3 | 19,1 | 17,7 | 24,3 | 22,5 | 27,3 | 25,3 | 31,2 | 28,9 | 36,4 | 33,7 | 41,6 | 38,5 | 44,6 | 41,3 | 48,4 | 44,8 | 53,6 | 49,6 |
| 240 | 4 | 20,5 | 14,2 | 25,9 | 18,0 | 29,1 | 20,2 | 33,0 | 22,9 | 38,4 | 26,7 | 43,8 | 30,4 | 47,0 | 32,6 | 51,0 | 35,4 | 56,4 | 39,2 |
| 360 | 6 | 22,7 | 10,5 | 28,4 | 13,1 | 31,7 | 14,7 | 35,9 | 16,6 | 41,6 | 19,3 | 47,3 | 21,9 | 50,6 | 23,4 | 54,8 | 25,4 | 60,5 | 28,0 |
| 540 | 9 | 25,1 | 7,7 | 31,1 | 9,6 | 34,6 | 10,7 | 39,1 | 12,1 | 45,1 | 13,9 | 51,1 | 15,8 | 54,6 | 16,9 | 59,0 | 18,2 | 65,0 | 20,1 |
| 720 | 12 | 27,0 | 6,3 | 33,2 | 7,7 | 36,9 | 8,5 | 41,5 | 9,6 | 47,7 | 11,0 | 54,0 | 12,5 | 57,6 | 13,3 | 62,2 | 14,4 | 68,4 | 15,8 |
| 1080 | 18 | 29,9 | 4,6 | 36,5 | 5,6 | 40,3 | 6,2 | 45,1 | 7,0 | 51,7 | 8,0 | 58,3 | 9,0 | 62,2 | 9,6 | 67,0 | 10,3 | 73,6 | 11,4 |
| 1440 | 24 | 32,1 | 3,7 | 38,9 | 4,5 | 42,9 | 5,0 | 48,0 | 5,6 | 54,8 | 6,3 | 61,6 | 7,1 | 65,6 | 7,6 | 70,7 | 8,2 | 77,5 | 9,0 |
| 2880 | 48 | 39,0 | 2,3 | 46,6 | 2,7 | 51,1 | 3,0 | 56,7 | 3,3 | 64,3 | 3,7 | 72,0 | 4,2 | 76,4 | 4,4 | 82,1 | 4,8 | 89,7 | 5,2 |
| 4320 | 72 | 43,7 | 1,7 | 51,8 | 2,0 | 56,5 | 2,2 | 62,5 | 2,4 | 70,6 | 2,7 | 78,7 | 3,0 | 83,4 | 3,2 | 89,4 | 3,4 | 97,5 | 3,8 |

Angaben in mm: Bemessungsniederschlagswerte h(n)

Angaben in l / (s ha): Regenspende R(n) mit $R(n) = h(n) \times 1,666667 / D[\text{min}]$

Toleranzbereiche:

+/- 10 % für $1 a \leq T \leq 5 a$

+/- 15 % für $5 a < T \leq 50 a$

+/- 20 % für $50 a < T \leq 100 a$

Datenbasis: KOSTRA-DWD-2010R des Deutschen Wetterdienstes. Die Regenspende wurde auf Basis des Bemessungsniederschlags zur jeweiligen Andauer berechnet.

Für die Richtigkeit und Aktualität der Angaben wird keine Gewähr übernommen. Erstellt 07/2022.

Starkniederschlagshöhen und -spenden gemäß KOSTRA-DWD-2010R

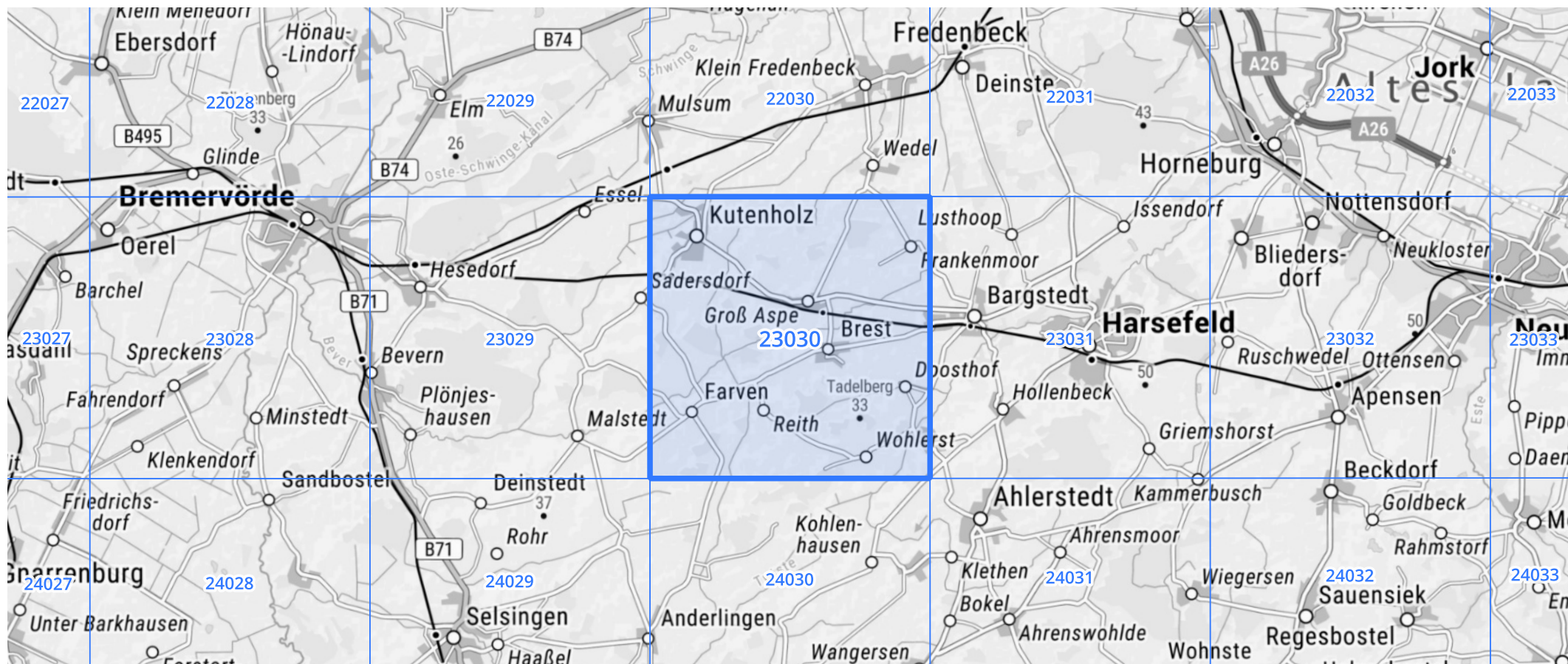
Auswertungszeitraum von 1951 - 2010, Januar - Dezember

Rasterfeld: 23030

Zeile: 23

Spalte: 30

Seite: 2/2



Quelle Rasterdaten: KOSTRA-DWD-2010R des Deutschen Wetterdienstes.

Kartendarstellung: © Bundesamt für Kartographie und Geodäsie (2022), Datenquellen: https://sgx.geodatenzentrum.de/web_public/gdz/datenquellen/Datenquellen_TopPlusOpen.html

Für die Richtigkeit und Aktualität der Angaben wird keine Gewähr übernommen. Erstellt 07/2022.